

---

## **ЕКОНОМЕТРИКА (МЕТОДИ СТАТИСТИЧНОГО АНАЛІЗУ І ПРОГНОЗУВАННЯ)**

Економетрика (методы статистического анализа и прогнозирования)

Econometrics (methods of statistical analysis and forecasting)

---

УДК 338.27

*А. В. Верстяк*

*канд. екон. наук, доцент*

*Чернівецький національний університет ім. Ю. Федьковича*

*В.П. Николюк*

*Буковинський державний фінансово-економічний університет*

### **СТРЕС-ТЕСТУВАННЯ РИНКОВИХ ФАКТОРІВ ПОШИРЕННЯ ФІНАНСОВИХ ІНФЕКЦІЙ**

В останні роки невід'ємним елементом ризик-менеджменту фінансових організацій, і, в першу чергу, банків та страхових компаній, є стрес-тестування. Дослідження МВФ показують, що в більшості країн регулятори фінансових ринків встановлюють вимоги до проведення стрес-тестів. В Україні на сьогодні практика застосування стрес-тестування не настільки широка, а пропозиції Центрального Банку з цього питання носять рекомендаційний характер. Разом з тим тенденції розвитку ринку дозволяють очікувати широкого розповсюдження стрес-тестування.

Проведення процедури стрес-тестування має дві труднощі: по-перше, складність полягає у виборі відповідної базової моделі ризику, по-друге, складно здійснити будь-які зміни в базовій моделі ризику для її модифікації.

Для вирішення першої проблеми, а саме підбору найбільш відповідного типу стрес-тесту, Ребонато в праці [1] пропонує використовувати БулевуБаєсову мережу. В праці фактори ризику визначаються як булеві змінні, які приймають 2 значення: "істинно" (true) або "хибно" (false). Після опису змінних фактори ризику з'єднуються між собою причинно-наслідковою баєсовою мережею (CausalBayesiannetworks): така мережа описує розподіл факторів ризику в умовах обмеженої кількості умовних ймовірностей. Зазначений подвійний алгоритм спрощення дозволяє здійснити переоцінку керованої кількості умовних ймовірностей. Потенційний недолік описаного методу полягає в тому, що хибна/істинна розбивка ризику може виявитись занадто "грубою" в моделюванні реалістичних сценаріїв ризику.

Вирішення другої проблеми, а саме включення методики стрес-тестування в моделі ризику, можна реалізувати на основі підходу "ентропічного об'єднання" запропонованого в [2]. В такому випадку дані, отримані в процесі апробації моделей стрес-тестів, повинні мати найменші відхилення від даних, що отримані в базовій моделі ризику, однак при цьому задовольняти власні умови (мірою відхилення при цьому виступає перекресна ентропія).

В праці [2] досліджується проведення стрес-тестів розподілів в двох випадках: при нормальній ситуації на ринку, а також при наявності розподілу, побудованого на основі історичних даних та методі Монте-Карло.

В теорії "Ентропічного об'єднання" [2] побудова розподілу здійснюється трьома методами:

1. Параметричний підхід - розподіл будується на основі наборів параметрів: нормальний розподіл, t-розподіл Стюдента або копули. Дослідження параметричних розподілів детально досліджено в праці [3].

2. Побудова розподілу на основі випадкових сценаріїв, наприклад імітаційне моделювання методом Монте-Карло, які аналізуються в [4, 5].

3. Побудова розподілу із використанням гістограм. В одновимірному випадку гістограма відображає дискретний набір детермінованих значень через рівні проміжки часу, а також відповідний розподіл ймовірностей або "комірок".

Слід зазначити, що в реальних практичних випадках ринок, який описаний гістограмою, є багатовимірним і тому потрібно враховувати набір декількох дискретних розподілів. Тому розглянемо  $N$  факторів ризику  $X \equiv (X_1, \dots, X_N)'$ , які вважаються дискретними, тобто для кожного  $n = 1, \dots, N$  фактор  $X_n$  може призвести тільки до набору  $K_n$  наслідків:

$$X_n \in \{x_{n,1}, \dots, x_n, k_n\}. \quad (1)$$

Наприклад, розглянемо випадок  $N \equiv 3$  факторів  $X_1, X_2, X_3$ . Припустимо, що змінна  $X_1$  означає зростання фондових індексів і набуває значень "низьке (L)", "середнє (M)" і "високе (H)"; змінна  $X_2$  описує дефолт відповідної країни і приймає значення "дефолт (D)" та "вихід із кризи (S)"; змінна  $X_3$  описує інтервенцію ЦБ із відповідними значеннями - "зменшення (C)" та "підвищення (R)" процентних ставок. Відповідно до (1) описані змінні можна записати так:

$$\begin{aligned} X_1 &\in \{L, M, H\}, \\ X_2 &\in \{D, S\}, \\ X_3 &\in \{C, R\}. \end{aligned} \quad (2-3)$$

Загальна кількість об'єднаних сценаріїв  $J \equiv \prod_{n=1}^N K_n$ . В праці [1], наприклад, всі змінні є булевими, тобто  $X_n \in \{T, F\}$ , і тоді кількість можливих сценаріїв  $J \equiv 2^N$ .

Відповідно, можна сформувати матрицю  $X$  розмірності  $J \times N$  із Job'єднаних сценаріїв Призик-факторів. Випадкові властивості зазначених подій описується  $J$ -вимірним вектором  $p$ -ймовірностей кожного сценарію. Позначимо через  $(X, p)$  апріорний розподіл ринку. В нашому прикладі існує  $J = 3 \times 2 \times 2 = 12$  об'єднаних сценаріїв. Припустимо, що для всіх сценаріїв існує однакова ймовірність, тоді апріорний розподіл буде виглядати так(4):

	X	
	L	
D C	L	/12
	R	
D R	L	/12
	C	
S C	L	/12
	R	
S R	L	/12
	M	
D C	M	/12
	R	
D R	M	/12
	C	
S C	M	/12
	R	
S R	H	/12
	L	
D C	H	/12

H	
D R	/12
H	
S C	/12
H	
S R	/12

Ребонато [1] визначає апіорні ймовірності через задання структури мережі Баєса, тобто відбувається заміна ймовірностей  $\mathbf{P}\{x_1, \dots, x_N\}$  :

$$\mathbf{P}\{x_1, \dots, x_N\} \equiv \prod_{n=1}^N P\{x_n | \mathbf{x}_{c(n)}\}, \quad (5)$$

де  $\mathbf{x}_{c(n)}$  означає набір змінних  $\{x_1, \dots, x_N\}$ , які мають причинно-наслідкові зв'язки із фактором  $X_n$ .

Наприклад, представимо що у нашому випадку зміна  $X_1$  викликана тільки змінною  $X_3$ , а, отже, згідно із мережею Баєса  $\{X_2; X_1 \leftarrow X_3\}$ . Тому вектор  $\mathbf{p}$  в (5) може бути генерований таким чином:

$$\mathbf{P}\{x_1, x_2, x_3\} = \mathbf{P}\{x_1 | x_3\} \mathbf{P}\{x_2\} \mathbf{P}\{x_3\}. \quad (6)$$

Отже ймовірності будуть виглядати так:  $\mathbf{P}\{X_2 = D\}$ ,  $\mathbf{P}\{X_3 = C\}$ ,  $\mathbf{P}\{X_1 = L | X_3 = C\}$ ,  $\mathbf{P}\{X_1 = M | X_3 = C\}$ ,  $\mathbf{P}\{X_1 = L | X_3 = R\}$  та  $\mathbf{P}\{X_1 = M | X_3 = R\}$ .

В більш загальному випадку ми можемо визначити апіорний розподіл використовуючи частотну оцінку, яка і буде використана нижче для дослідження поширення фінансових інфекцій в Україні.

Об'єктом проведення стрес-тестування в досліджуваному випадку виступають особливості розподілу факторів ризику  $X$ . Як правило при проведенні стрес-тестів визначається кореляція та волатильність ризик-факторів.

Позначимо через  $\tilde{\mathbf{P}}$  суб'єктивну ймовірність певного практика, а через  $k$  – його прогноз:

$$\tilde{\mathbf{P}}\{X_{n1} \in x_{n1}, X_{n2} \in x_{n2}, \dots | X_{m1} \in x_{m1}, X_{m2} \in x_{m2}, \dots\} \geq \tilde{v}_k, \quad (7)$$

де  $x_n$  - це підмножина потенційних вихідних параметрів (1) фактор-ризиків  $X_n$ ;  $\tilde{v}_k$  - суб'єктивний поріг ймовірності.

Наприклад, розглянемо стрес-тест: ймовірність дефолту країни 30%, а зміна фондових індексів (середнього значення) – 70%, тоді:

$$\tilde{\mathbf{P}} = \{X_1 \in \{M, H\} | X_2 = D\} \geq 0,7, \quad (8)$$

$$\tilde{\mathbf{P}} = \{X_2 = D\} \geq 0,3. \quad (9)$$

Кожний прогноз або стрес-тест може бути доданий лінійними обмеженнями вектора  $\tilde{\mathbf{p}}$  (для суб'єктивних ймовірностей, які асоційовані з кожним сценарієм). Так, позначимо через  $I_{jnt(k)}$  індикатор сценаріїв, при яких задовольняються умови стрес-тесту (7), які позначимо через  $I_{cnd(k)}$ . Тоді, використовуючи тотожність  $\mathbf{P}\{A|B\} = \mathbf{P}\{A \cap B\} / \mathbf{P}\{B\}$  ми можемо переписати (5) у вигляді:

$$(I_{jnt(k)} - \tilde{v}_k I_{cnd(k)})' \tilde{\mathbf{p}} \geq 0. \quad (10)$$

Крім того, у особливому випадку, якщо умова відсутня, то (7) набуде вигляду:

$$I'_{jnt(k)} \tilde{\mathbf{p}} \geq \tilde{v}_k. \quad (11)$$

Обидва співвідношення (10)-(11) виступають лінійними обмеженнями на  $\tilde{p}$ . Розглянемо приклад (8), де:

$$I_{jnt} \equiv I_{X_1 \in \{M, H\} \cap X_2 = D}, \quad (12)$$

$$I_{cnd} \equiv I_{X_2 = D}. \quad (13)$$

З (4) отримаємо:

$$I_{jnt} = (0, 0, 0, 0, 1, 1, 0, 0, 1, 1, 0, 0)', \quad (14)$$

$$I_{cnd} = (1, 1, 0, 0, 1, 1, 0, 0, 1, 1, 0, 0)'. \quad (15)$$

Тоді, згідно із (10), стрес-тест (8) та (9) набуде вигляду:

$$-0,7\tilde{p}_1 - 0,7\tilde{p}_2 + 0,3\tilde{p}_5 + 0,3\tilde{p}_6 + 0,3\tilde{p}_9 + 0,3\tilde{p}_{10} \geq 0, \quad (16)$$

$$\tilde{p}_5 + \tilde{p}_6 + \tilde{p}_7 + \tilde{p}_8 + \tilde{p}_9 + \tilde{p}_{10} \geq 0,3. \quad (17)$$

Слід додати, що в праці [4] стрет-тест очікувань, кореляції та волатильності може бути виражений через лінійні обмеження на ймовірності, тобто прогноз (стрес-тест) може бути записаний як:

$$A\tilde{p} \leq b, \quad (18)$$

де  $A$  і  $b$  відповідно матриця та вектор, які задовольняють відповідні умови.

Стрес-тестування або здійснення прогнозів можуть бути і не відповідними реальній ситуації, оскільки існує можливість існування вектора  $p$ , який їх задовольняє і виступає, в свою чергу, вектором ймовірностей:

$$1'p \equiv 1, \quad p \geq 0. \quad (19)$$

В досліджуваному випадку для перевірки відповідності проведення стрес-тестування введемо співвідношення:

$$b \rightarrow b + \delta b, \quad (20)$$

де  $\delta b \geq 0$  - мінімальне відхилення, яке в загальному випадку тотожне нулю  $\delta b \equiv 0$ , однак в деяких випадках може бути і строго додатнім. Для знаходження  $\delta b$  розглянемо таку задачу:

$$\delta b \equiv \arg \min_x \{ \gamma' x \}, \quad (21)$$

де  $x$  задовольняє умови:

$$x \geq 0, \quad (22)$$

$$Ap \leq b + x, \quad (23)$$

а  $p$  задовольняє умову (19). Вектор-константа  $\gamma \equiv -\ln(1-c)$  в задачі (21) виступає функцією відносної відповідності кожного прогнозу ( $c \in (0, 1)$ ). Елементи вектора  $\gamma$  завжди додатні і, при цьому, наближені до нуля при низькій довірі прогнозу та строго більше нуля при високій довірі прогнозу. Тому задача (21) порушує прогнози з низькою довірою, а інші залишає незмінними.

Останній етап проведення стрес-тестів полягає у знаходженні апостеріорних значень досліджуваних змінних. Для цього розглянемо апріорний розподіл, який представлений множинною гістограмою  $(X, p)$  і введемо альтернативну гістограму  $(X, q)$ , де  $q$  - це новий вектор ймовірностей. Аналогічно попередньому підрозділу відстань від  $(X, p)$  до  $(X, q)$  можна виразити через перехресну ентропію:

$$\varepsilon(\mathbf{q}, \mathbf{p}) \equiv \sum_{j=1}^J q_j \ln \frac{q_j}{p_j}. \quad (24)$$

Перехресна ентропія дорівнює нулю тільки у тому випадку, якщо  $\mathbf{q} = \mathbf{p}$ , а в інших – строго додатна.

Апостеріорний розподіл представлений новими ймовірностями  $\tilde{\mathbf{p}}$ , які максимально наближені до відповідних апріорних значень та задовольняють умови (18)-(20). Однак перевірка відповідності прогнозу дещо інакша:

$$\tilde{\mathbf{p}} \equiv \arg \min_{\mathbf{Aq} \leq \mathbf{b} + \delta \mathbf{b}} \varepsilon(\mathbf{q}, \mathbf{p}). \quad (25)$$

Кількість змінних в (25) дорівнює  $J$ , тобто кількості об'єднаних сценаріїв.

Відповідно до розробленої методики здійснимо стрес-тестування фінансового ринку України з метою виявлення факторів поширення фінансових інфекцій. Для цього проведемо аналіз як зміниться індекс MSCI в Україні при зміні аналогічного індексу в країнах, які мають найбільші спреди кредитних дефолтних свопів, а отже - високу ймовірність дефолту.

Отже, розглянемо зміни індексу MSCI таких країн: Німеччина, Італія, Франція, Іспанія, Голландія, Бельгія, Греція, Португалія та Україна, які вважатимемо ризик факторами. Таким чином,  $N \equiv 9, Z_i, i = 1, \dots, 9$ . Здійснимо розподіл введеної змінної на три блоки:

$$X_n \equiv \begin{cases} 1, & \text{якщо } \Delta Z_n > \bar{q}_n \\ 0, & \text{якщо } \underline{q} \leq \Delta Z_n \leq \bar{q}_n, \\ -1, & \text{якщо } \Delta Z_n < \underline{q}_n \end{cases} \quad n = 1, \dots, 9, \quad (26)$$

де  $\Delta Z_n$  - це зміна індексу MSCI (тобто досліджуваний ризик-фактор), а обмеження  $\bar{q}_n$  та  $\underline{q}_n$  - відповідно верхня та нижня історична терциль.

В системі Matlab сформовано матрицю  $X$  розмірності  $J \times N$ , елементи якої містять всі сценарії  $X$ , де  $J = 3^9 = 19683$ , а  $N = 9$ , тому для визначення апріорної інформації потрібно присвоїти ймовірність  $p_j$  кожному з 19683 сценаріїв. У зв'язку з цим була сформована база даних щоденних індексів MSCI по дев'яти країнах у період з 30 червня 2008 року по 21 вересня 2012 року. Після цього проведено розрахунки зміни індексів, а також розраховані нижні та верхні терцилі відповідно до (26).

Для того, щоб переконатися, що жоден із сценаріїв не увійшов а апріорний розподіл, ми зменшили частотну оцінку для рівномірного розподілу:

$$\mathbf{p} \rightarrow (1-\epsilon)\mathbf{p} + 1\epsilon \frac{1}{J}, \quad (27)$$

де коефіцієнт усадки  $\epsilon \equiv 0,01$ .

На рис 1 (верхня частина) зображено гістограму апріорних ймовірностей.

Для кращого розуміння зазначених ймовірностей в табл 1. відобразимо кореляції між досліджуваними ризик факторами, значення яких отримано на основі апріорного розподілу.

Таблиця 1

Коефіцієнт кореляції між  $Z_i, i = 1, \dots, 9$  (апріорний розподіл), %

	IT	FR	ES	NL	BE	GR	PT	UA
DE	76	-15	23	20	39	-8,4	-20	28
IT	1	-15	21	12	5,2	-4,5	-18	31
FR		1	-44	10	-11	3,5	37	-15
ES			1	-9	14	5	-70	15

NL				1	-30	-40	5	-15
BE					1	31	8	24
GR						1	2	10
PT							1	-13

Джерело: розраховано автором в системі Matlab

До проведення стрес-тесту найбільші зв'язки індексу MSCI в Україні існують з Німеччиною, Італією та Бельгією. Відповідно зміни на фінансових ринках цих країн можуть призвести до відповідних змін і в Україні.

Проведення стрес-тесту.

Відповідно до отриманих історичних результатів задамо умови, які перевищують нормальні умови функціонування фінансових ринків країн для проведення стрес-тестування:

$\tilde{P}\{X_n = -1\} \geq 40\%$ ,  $\tilde{P}\{X_n = 1\} \geq 40\%$ ,  $n = 1, \dots, N$ , тобто ймовірність розміщення зміни індексів у верхній та нижній терцилі збільшена на 40%.

$$\tilde{P}\{X_1 \in \{-1, 0\} \cap X_2 \in \{-1, 0\} \cap X_8 = 1 \mid X_4 = 1\} \geq 50\%$$

$Cor\{X_1, X_2\} \leq 70\%$  - кореляція між зміною індексу MSCI в Німеччині та Італії не перевищить 70%.

Враховуючи апріорний розподіл та вищенаведені умови стрес-тесту розрахуємо апостеріорний розподіл у відповідності з (25). В нижній частині рис 1. зображено гістограму апостеріорних ймовірностей  $\tilde{p}$

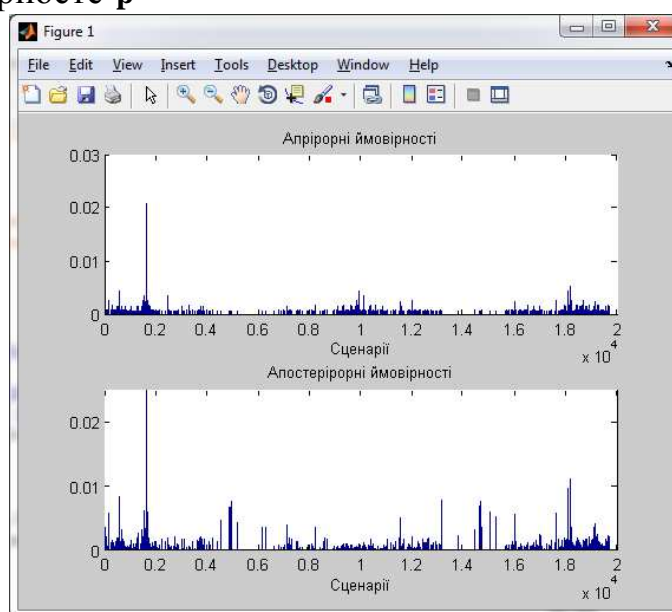


Рис 1. Порівняння апріорних (історичних) та апостеріорних (стрес-тестів) ймовірностей (Джерело: розраховано автором в системі Matlab)

Відповідні в кореляції між досліджуваними ризик факторами, значення яких отримано на основі апостеріорного розподілу наведенні в табл 2

Таблиця 2

Коефіцієнт кореляції між  $Z_i$ ,  $i = 1, \dots, 9$  (апостеріорний розподіл), %

	IT	FR	ES	NL	BE	GR	PT	UA
DE	58	-12	22	15	4,7	-7,7	-18	30
IT	1	-20	26	5,8	7,8	-3,9	-2,4	31
FR		1	-11	17	6,1	-75	21	-20

ES			1	-33	-46	8,6	-24	20
NL				1	34	-11	24	-24
BE					1	-5,3	12	24
GR						1	-20	12
PT							1	-20

Джерело: розраховано автором в системі Matlab

З таблиць 1-2 можна побачити як змінилися кореляції зміни індексів MSCI між досліджуваними країнами. Можна зробити однозначний висновок про наявність явища фінансової інфекції - зміна певних умов в одних країнах призводить до зміни індексів MSCI в інших. Так, проведення стрес тесту (а саме збільшення тісноти зв'язку між Німеччиною та Італією, зміна умов в Німеччині, Італії, Португалії та Іспанії) призвела до збільшення кореляції індексу MSCI між Україною та досліджуваними країнами.

Таким чином, розроблена модель стрес-тестування показує наскільки фінансова стабільність стійка при реалізації прогнозів і дає розуміння про можливі вразливості. Хоча екстремальні явища не можна спрогнозувати, вивчення їх впливу на ефективність роботи організації зміцнює розуміння ситуації.

Розроблена модель стрес-тесту визначає сценарій, який використовує спеціальний алгоритм для визначення очікуваного впливу на зміну ризик-факторів у випадку реалізації різних сценаріїв. Як приклад, фундаментальним ризик-фактором моделі є зміна індексу MSCI, однак модель дозволяє використовувати і інші характеристики, які впливають на поширення фінансових інфекцій: зміна процентних ставок, цін нафту, золото, зміна прибутковості, інші індекси (S&P 500) тощо.

### Література

1. Rebonato R. A Bayesian approach to stress testing and scenario analysis / R.A. Rebonato// Journal of Investment Management, Third Quarter. 2010. - pp. 121-135.
2. Attilio Meucci Fully Flexible Views: Theory and Practice [Електронний ресурс]. – Режим доступу: <http://scrn.com/abstract=1413325>
3. 156. Meucci A. Fully flexible views with parametric multivariate distributions, Working Paper Available [Електронний ресурс]. / A. Meucci, D. Ardia, S. Keel // Режим доступу: at <http://scrn.com/abstract=1143549>.
4. Meucci A. Historical scenarios with Fully Flexible Probabilities, GARP Risk Professional, Article and code available at December, 2010. - pp. 40—43. [Електронний ресурс]. / A. Meucci Режим доступу: <http://symnys.com/node/152>.
5. Meucci A. Effective number of scenarios with Fully Flexible Probabilities, GARP Risk Professional February, 2012. - pp. 32—35 Article and code a vailable at. [Електронний ресурс]. / A. Meucci // Режим доступу: <http://symnys.com/node/162>.

1. Rebonato, R.A. (2010), “*Bayesian approach to stress testing and scenario analysis*”, Journal of Investment Management, pp. 121-135.
2. Attilio Meucci Fully Flexible Views: Theory and Practice, available at: <http://scrn.com/abstract=1413325>
3. Meucci, A. *Fully flexible views with parametric multivariate distributions*, available at: <http://scrn.com/abstract=1143549>.
4. Meucci, A. *Historical scenarios with Fully Flexible Probabilities*, GARP Risk Professional, available at: <http://symnys.com/node/152>.
5. Meucci A. *Effective number of scenarios with Fully Flexible Probabilities*, GARP Risk Professional, available at: <http://symnys.com/node/162>.